

Código: PDS-FO-08

INFORME TÉCNICO - PERICIAL DE RECONSTRUCCIÓN FORENSE DE ACCIDENTE DE TRÁNSITO R. A. T[®] 2



VEHÍCULO No. 1: BUS, CHEVROLET FRR, modelo 2013, color blanco, placa TTX808.

VEHÍCULO No. 2: MOTOCICLETA, AKT AK 125, modelo 2019, color negro, placa OOI34E.

INFORME No. 231034174

Bogotá D.C., noviembre 06 de 2023

R.A.T[®] es una marca registrada por IRSVIAL S.A.S, Resolución 39860 del 29/11/2007, SIC



Código: PDS-FO-08

TABLA DE CONTENIDO

1.	INTRODUCCIÓN	3
2.	EVIDENCIA FÍSICA DOCUMENTADA	4
2.1	FECHA, HORA Y LUGAR DE OCURRENCIA:	4
2.2	LA VÍA:	8
2.3	VEHÍCULOS:	14
2.4	MARCAS Y EVIDENCIAS SOBRE EL TERRENO:	20
2.5	VICTIMAS:	22
3	ANÁLISIS FORENSE DEL ACCIDENTE DE TRÁNSITO	23
4.	SECUENCIA DEL VIDEO	29
5.	SECUENCIA DEL ACCIDENTE DE TRÁNSITO	34
6.	ANÁLISIS DE EVITABILIDAD	36
7.	HALLAZGOS	41
8.	CONCLUSIONES:	42
9	REFERENCIAS BIBLIOGRÁFICAS	44



Código: PDS-FO-08

1. INTRODUCCIÓN

Los procedimientos de investigación y reconstrucción de accidentes de tránsito utilizan como

metodología el MÉTODO CIENTÍFICO y técnicas de reconstrucción de accidentes de tránsito

desarrolladas y probadas científicamente, aceptadas por la comunidad científica mediante la

publicación de artículos científicos y discusión en congresos y seminarios, con el fin de determinar la

dinámica del accidente que permitan identificar las causas del siniestro.

El análisis de las evidencias es la piedra angular de la reconstrucción, su recolección y descripción

conforman el punto de partida del análisis retrospectivo del accidente.

Instrumentos, equipos y programas de software empleados:

1. Procedimiento de investigación y reconstrucción de accidentes de tránsito – Manual de calidad

IRS VIAL SAS norma ISO 9001-2015.

2. Equipo de Computo Victus by HP11th Gen Intel(R) Core (TM) i5-11400H @ 2.70GHz 2.69

GHz

3. Software Trimble Forensic Reveal – Licenses Manager - IRS VIAL SAS.

4. Herramienta IRS® Calculator, hoja de cálculo en Excel.

CLASE DE ACCIDENTE: CHOQUE.

Documentación recibida:

Todo el proceso de la investigación y reconstrucción analítica del siniestro se basa en la información

considerada por el grupo técnico de IRSVIAL, que fue recolectada empleando los procedimientos

técnicos de fijación fotográfica, planimetría, y técnicas analíticas de reconstrucción de accidentes

basadas en las leyes de la física, biomecánica, ingeniería automotriz, medicina forense, como se indica

a continuación:

Folio 3 de 46



Código: PDS-FO-08

- a) Informe Policial de Accidente de Tránsito (3 folios)
- b) 10 fotografías de la zona de los hechos.
- c) 1 pista de video con la secuencia de los hechos.

2. EVIDENCIA FÍSICA DOCUMENTADA

La documentación recibida y recolectada durante el proceso de investigación y reconstrucción del accidente se describe y se analiza a continuación con el fin de determinar de manera retrospectiva la secuencia del accidente y sus causas.

2.1 FECHA, HORA Y LUGAR DE OCURRENCIA:

De acuerdo con el reporte del accidente de tránsito el siniestro ocurrió el miércoles 09 de octubre de 2019, a las 06:00 horas, en la vía Calle 48 I Carrera 7 J de la ciudad de Manizales (5.0768311,-75.4906911).



Imagen No 1: En esta imagen se aprecia la ubicación geográfica del lugar de los hechos (fuente Google Earth-pro).



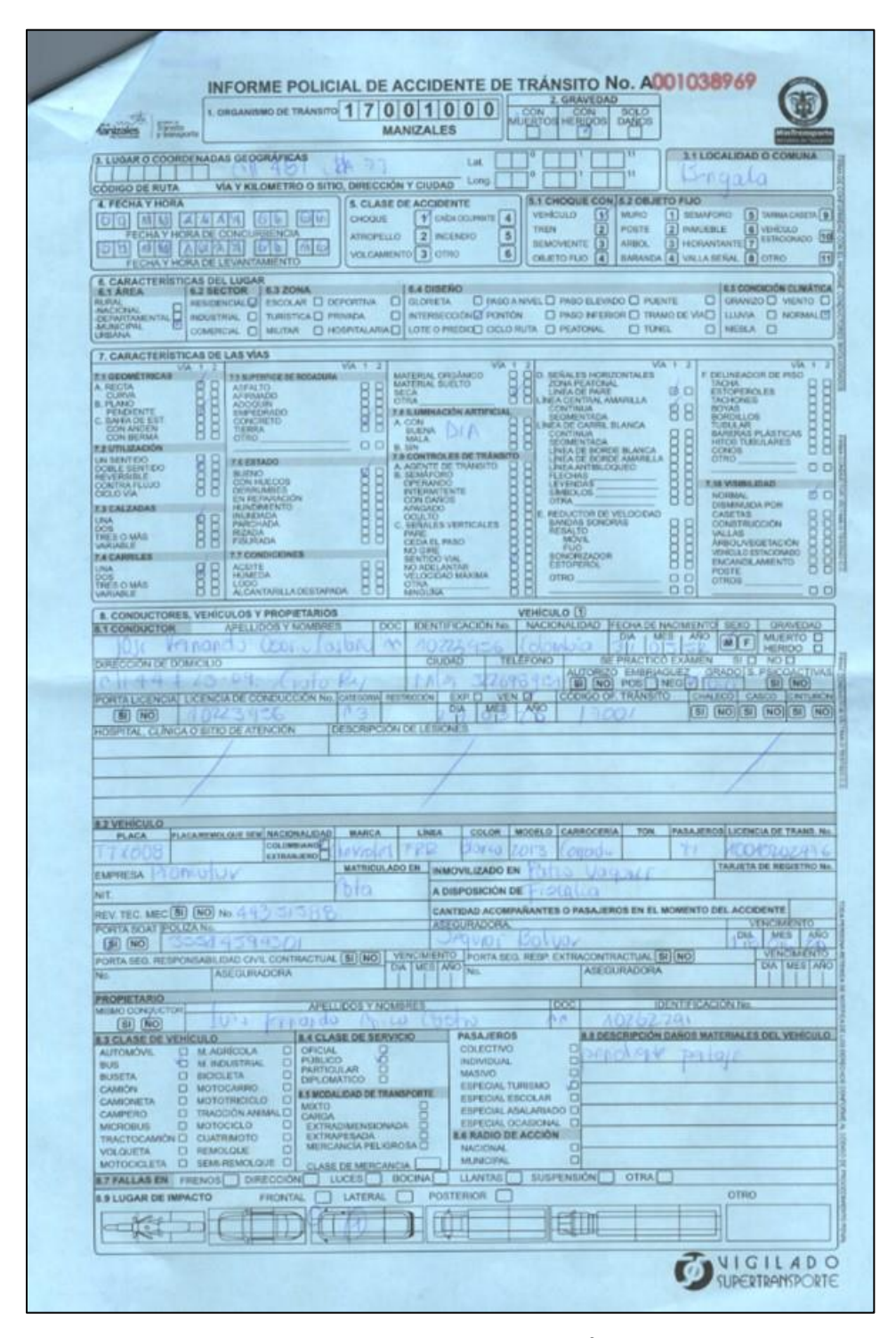


Imagen No. 2: En esta imagen se aprecia la primera hoja del informe de la autoridad IPAT.



8.1 CONDUCTOR	RES, VEHICULOS	DOS Y NOMBRE		CT PSTEE	FICACION No.	PHICULO	LIDAD FECHADE NACH		
	and the second	se Eurica	23 00		Contract to the second	(oloe)	TON A BROWN IN		EHTO E
DRECCIONDE			10 10	_		FONO I	SH PHACTYCO EX	HE HE	SIDO E
Cro-A d	48F-16	dermal)	1712	1000	E 14 5	NO POS NEO	Z GRADO S PSK	OACTA (NO)
PORTALICENCE	LICENCIA DE C	ONDUCCIÓN No.	CATTROPING AN	ITHICOON		0 100	DIGO OF TRANSITO	CHALCOT CASCO	(NO)
THE NO	11053.6VI	140	A Paris		DIA MES	450	13201	SI NO SI NO	CHILE
	CA O SITIO DE AT	ENCIÓN D	ESCRIPCIÓ	OF LESIC	MES			bus conform ore	slems er
ALESA O	on thores			6 (10	LLO O GYN	of all		Polidyauga	
greduit	O ASTE	latrada	1 88	Outd	ada la	Freih	24		
1									
8.2 VEHICULO	SACATEMOLOUS NO	warrowa man	MARCA	1000	I amount I wa	-			
DOLEGE	AND DESCRIPTION OF THE PARTY OF	COLOMBIANO CENTRANIERO	MARCA .	LINEA	COLOR MO	MELD IGA		SAJENOS LICENCIA DE	TRANS
The second secon		TEXTRANLERO[_]		O EN L	1-4400 2	Well :	1/2		
EMPRESA			Anson	INS	IOVILIZADO EN	fallu.	Vagour Land	TARLETA DE RE	GISTRO!
NIT.	en ordi		7 00 79		ISPOSICIÓN DE	_	LLO"		
REV. TEC. MEC				CAI	ITIDAD ACOMPAN	ANTES OF	ASAJEROS EN EL MOME		
PORTA SOAT PS	STATE OF THE PARTY	1/25/19/ E	0	1000	EGURADORA	THE S	el ad	-DIA AME	
	CHSARLDAD CM	L CONTRACTUAL	SI NOT V	ENCIMENT	O POSCA SEC A	SESP FYEN	ACONTRACTUAL (SI) (NO		S. AN
No.	ASEGURA	AROGA	D	A MES A	P NA.	LOT EXTE	ASEGURADORA	DIA	MES AN
PROPIETARIO				111			Black Company	1 2 2	
MISMO CONDUCTO			DOSYNOR		-	IDOC	CENT	CACION No.	
(BI) (NO)	1000				4010090	100	3040112	5	
AUTOMOVIL	M AGRICOLA	D CFICIAL	E DE SERVIC	10	PASAJERDS COLECTIVO	-	A E DESCRIPCION DAÑO		EHICUL
6US	M. INCUSTRIAL	C PUBLICO	AR C		INDIVIDUAL	0	PEROLENIC I	-nitore	
BUSETA. CAMIÓN	D MOTOCARRO	DIPLOMA	moo O		MASIVO ESPECIAL TURIS	D D			
CAMIONETA	MOTOTRICICLE	B D REMODAL	DAD DE THAN	SPORTE.	ESPECIAL ESCO	KAN D			
	TRACCIÓN ANI	MALL CARDA	MENSIONAD	. 0	ESPECIAL OCAS			1	
TRACTOCAMION	CUATRIMOTO	C) EXTRAP	ESADA	0 1	B.6 RADIO DE AC			-	
VOLGUETA	D BENN-RENOLO	and the second	CIA PELISRO		NACIONAL	0	-		-
B.7 FALLAS EN			E MERCANO		MUNICIPAL.	D	teriffer a constant		
8.9 LUGAR DE IM		FRONTAL D	LATERAL [OCINA [SUSPENS	ON OTHA		
Land All	The state of the s	The latest	MICHAEL E	1 100	ERIOR .		100	OTRO	
						115			
	The state of the s	4		CA		- Loe	34		
	SAJEROS, ACOM				DEL VEHICULO N		-	Action to the second	
	PELLIDOS Y NON	72	0.00	1550	DENTIFICACIÓN	No.		DIA MES AND	
DIRECCIÓN DE D		(Mara)	1000	CIUDAD	00-0	Wall Statement	Lotation	49091119	10
0 4814	38-73	men 4	0.0	- Constitution		TELEFONO	The second secon	9,1 DETALLES DE LA CONDICION	
CONTRACTOR AND ADDRESS.	A O SITIO DE ATE		0000	RACTICOL	WILLIAM AL PO	NO D	THE COURT	PEATON [)
	Trappla.		AUTO	FIZO EM	BRIACKEZ GRA	DO 2 PSIC	OACTIVAS CASCO	PASAJERO .	3
DESCRIPCION D				NO POS	NEO C	194	NO SI NO	ACOMPAGANTE D	
TOURS !	and the	efalio 5	PUPPLE	Politin			CHALECO	MUERTO [2
							(B) (NO)	HERIDO [
	MAS PEATON	ACOMPA	ANTE A	PASAJ	ERO CO	NOUCTOR	TOTAL HERID	OS J. MUERTO	
18. TOTAL VICTI		ETRÂNSITO					A contract or territories		
18. TOTAL VICTI	EL ACCIDENTE DI		DEL VEH	-			DEL PEATON		
					The second second		Party Day on a house		
DEL CONDUCTO		H	DELAVI				DELPASAJERO	the state of the s	
11. HIPÓTESIS D		CUAL?	DELAVI				DELTANSACHO [
TI. HIPÓTESIS D DEL CONDUCTO OTRA 12 TESTIGOS	ESPECIFICAR								
TI. HIPÓTESIS D DEL CONDUCTO OTRA 12 TESTIGOS			DE LAVI		FICACIÓN NO.		DRECCIÓN Y CIUDAD	TRAFFC	NO.
11. HIPÓTESIS D DEL CONDUCTO OTRA 12. TESTIGOS	ESPECIFICAR,	6/63	DOC	DENT			DIRECCIÓN Y CIJUNO		
11. HIPÓTESIS D DEL CONDUCTO OTRA 12. TESTIGOS	ESPECIFICAR	6/63		DENT	FICACIÓN NO.			TELEPO	
11. HIPÓTESIS D DEL CONDUCTO OTRA 12. TESTIGOS	ESPECIFICAR,	BAES	DOC	DENT			DIRECCIÓN Y CIUDAD DIRECCIÓN Y CIUDAD	TELEFO	NO
11. HIPÓTESIS D DEL CONDUCTO OTRA 12. TESTIGOS	ESPECIFICAR, PELLIDOS Y NOM	BAES	500	DENT	FICACIÓN NII.		DIRECCIÓN Y CIJUNO		NO
11. HIPÓTESIS D DEL CONDUCTO OTRA 12. TESTIGOS	ESPECIFICAR JELLIDOS V NOM PELLIDOS V NOM PELLIDOS V NOM	BAES	500	DENT	FICACIÓN NII.		DIRECCIÓN Y CIUDAD DIRECCIÓN Y CIUDAD	TELEFO	NO
11. HIPÓTESIS O DEL CONDUCTO OTRA 11. TESTIGOS	ESPECIFICAR JELLIDOS V NOM PELLIDOS V NOM PELLIDOS V NOM	BAES	500	DENT	FICACIÓN NII.		DIRECCIÓN Y CIUDAD DIRECCIÓN Y CIUDAD	TELEFO	NO
11. HIPÓTESIS O DEL CONDUCTO OTRA 11. TESTIGOS	ESPECIFICAR JELLIDOS V NOM PELLIDOS V NOM PELLIDOS V NOM	BAES	500	DENT	FICACIÓN NII.		DIRECCIÓN Y CIUDAD DIRECCIÓN Y CIUDAD	TELEFO	NO
11. HPOTESIS D DEL CONDUCTO OTRA 12. TESTIGOS 12. TESTIGOS 13. OBSERVACIO	E PELLOS V NOM PELLOS V NOM PELLOS V NOM NES	MAKES MAKES MAKES	DOC DOC	DENT DENT	PICACIÓN No.		DIRECCIÓN Y CALDAD DIRECCIÓN Y CALDAD DIRECCIÓN Y CALDAD	TELEFO	NO
11. HPOTESIS D DEL CONDUCTO OTRA	ESPECIFICAR, PELLIDOS Y NOM PELLIDOS Y NOM NES ENO 1 Conductores EN CONOCE EL	ERES ERES ACCIDENTE	DOC DOC DOC	CONT CONT	FICACIÓN No.		DIRECCIÓN Y CIUDAD DIRECCIÓN Y CIUDAD	TELEFO	NO
TI. HIPOTESIS D DEL CONDUCTO OTRA	ESPECIFICAR, PELLIDOS Y NOM PELLIDOS Y NOM NES	ERES ERES ACCIDENTE	DOC DOC DOC	CONT CONT	PICACIÓN No.		DRECCIÓN Y CRUDAD DRECCIÓN Y CRUDAD DRECCIÓN Y CRUDAD NEXOS (Fotos y Videox	TELEFO	NO
TI. HIPOTESIS D DEL CONDUCTO OTRA	ESPECIFICAR, PELLIDOS Y NOM PELLIDOS Y NOM NES ENO 1 Conductores EN CONOCE EL	ERES ERES ACCIDENTE	DOC DOC DOC	CONT CONT	FICACIÓN No.	OTROSA	DIRECCIÓN Y CIUDAD DIRECCIÓN Y CIUDAD DIRECCIÓN Y CIUDAD NEXOS (Futus y Videos	181.690	NO
TI. HIPOTESIS D DEL CONDUCTO OTRA	PELLOOS Y NOM PELLOOS Y NOM PELLOOS Y NOM NES DOO 1 CONSUMBRISH APELLOOS Y N	ERES ERES ACCIDENTE	DOC DOC DOC	CONT CONT	FICACIÓN No.	OTROSA	DRECCIÓN Y CRUDAD DRECCIÓN Y CRUDAD DRECCIÓN Y CRUDAD NEXOS (Fotos y Videox	TELEFO	NO
11. HIPOTESIS D DEL CONDUCTO OTRA	PELLOOS Y NOM PELLOOS Y NOM PELLOOS Y NOM NES DOO 1 CONSUMBRISH APELLOOS Y N	EPES EPES EVENIORS ACCIDENTE EVENIORS SANCES	DOC DOC DOC Z Video	DENT DENTE	FICACIÓN No.	DIROSA PLAC/ 2 P S	DRECCIÓN Y CALDAD	TELEFO	NO

Imagen No. 3: En esta imagen se aprecia la segunda hoja del informe de la autoridad IPAT.



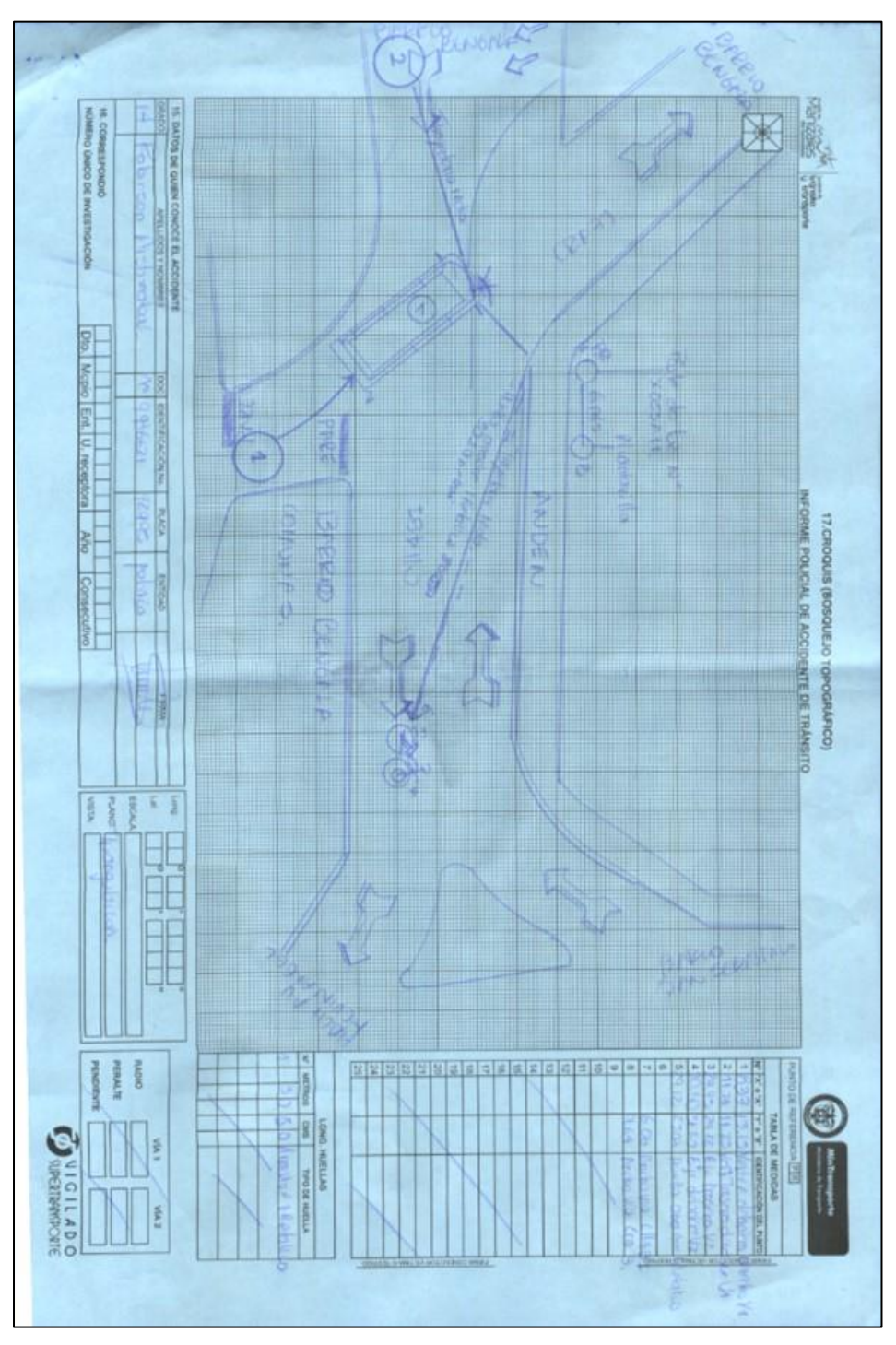


Imagen No. 4: En esta imagen se aprecia la hoja correspondiente al Croquis del informe de la autoridad IPAT.



Código: PDS-FO-08

2.2 LA VÍA:

Las condiciones y características de la vía donde se produce el accidente de tránsito se aprecian en las fotografías No. 1 a la 10 así como en la tabla No.1.





Fotografía No.1 y 2 <u>Plano General</u>: fotografía tomada en planta y sentido sur norte, donde se observan las características generales del tramo de vía intersección recta, pendiente, estado bueno, concreto, único sentido de circulación por sentido, señalización horizontal línea de pare. En este sentido circulaba el Bus.



Código: PDS-FO-08





Fotografía No.3 y 4 <u>Plano General</u>: fotografía tomada en sentido sur norte, donde se observan las características generales del tramo de vía intersección recta, pendiente, estado bueno, concreto, único sentido de circulación por sentido, señalización horizontal línea de pare. En este sentido circulaba el Bus.



Código: PDS-FO-08





Fotografía No.5 y 6 <u>Plano General</u>: fotografía tomada en sentido sur norte, donde se observan las características generales del tramo de vía intersección recta, pendiente, estado bueno, concreto, único sentido de circulación por sentido, señalización horizontal línea de pare. En este sentido circulaba el Bus.



Código: PDS-FO-08



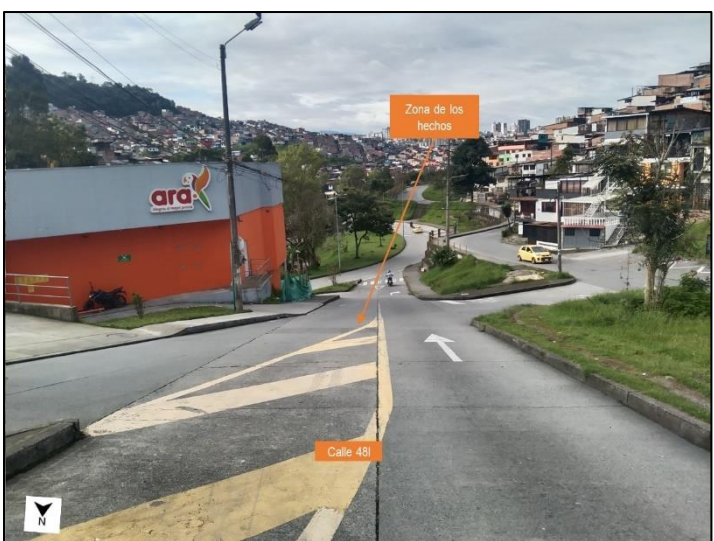


Fotografía No.7 y 8 <u>Plano General</u>: fotografía tomada en sentido norte sur, donde se observan las características generales del tramo de vía intersección recta, pendiente, estado bueno, concreto, único sentido de circulación por sentido, señalización horizontal línea de pare. En este sentido circulaba la Motocicleta.



Código: PDS-FO-08





Fotografía No.9 y 10 <u>Plano General</u>: fotografía tomada en sentido norte sur, donde se observan las características generales del tramo de vía intersección recta, pendiente, estado bueno, concreto, único sentido de circulación por sentido, señalización horizontal línea de pare. En este sentido circulaba la Motocicleta.

Nota 1: La visita al lugar de los hechos se realizó el 28 de octubre de 2023 por parte del equipo investigativo de IRS VIAL SAS.



Código: PDS-FO-08

En la siguiente tabla se describen las características de la vía.

CARACTERÍSTICAS	Intersección de la Calle 48 l Carrera 7 J de la ciudad de Manizales (5.0768311,-75.4906911).
ÁREA, SECTOR	Municipal, residencial
GEOMETRICAS	recta, Pendiente
UTILIZACIÓN	Único por calzada
CALZADAS	Una donde ocurren los hechos
CARRILES	Dos
MATERIAL	concreto
ESTADO	Bueno
CONDICIONES Y TIEMPO	Normal, seca
ILUMINACIÓN	natural
CONTROLES Y SEÑALES	Señalización horizontal línea de pare, línea central amarilla

TABLA No. 1



Código: PDS-FO-08

2.3 VEHÍCULOS:

Las características técnico-mecánicas de los vehículos, son consideradas en el presente análisis. Sin embargo, el aspecto más importante a observar radica en la ubicación de los daños sobre su estructura; variables que permitirán identificar la severidad del impacto y la posición relativa al momento del impacto.

La severidad del impacto está determinada por la magnitud del daño (dimensiones transversales, longitudinales y de profundidad), su ubicación (lo cual determina la rigidez de la estructura deformada) y el elemento que sirve de esfuerzo para producir el daño.

Congression of the state of the

VEHÍCULO No. 1: BUS, CHEVROLET FRR, modelo 2013, color blanco, placa TTX808.

Imagen No.5: En esta imagen netamente ilustrativa toda vez que a la fecha se desconoce las características del vehículo involucrado.

https://www.dieselandino.com/hs-fs/hubfs/Buseta.png?width=609&height=423&name=Buseta.png



Código: PDS-FO-08

CONDUCTOR	JOSÉ FERNANDO OSORIO CASTAÑO
IDENTIFICACIÓN	CC 10223956
EDAD	67
LICENCIA	C3

TABLA No. 2

A continuación, se describen las características técnico-mecánico del vehículo No.1.

CARACTERÍSTICAS	VEHÍCULO No.1: BUS, CHEVROLET FRR
SERVICIO	Público
OCUPANTES / CARGA	-
	Largo: 8,32m
DIMENSIONES	Ancho llantas traseras: 2,15m
DIMENTOTOTIES	Distancia Ejes: 4,99 m
	https://www.busesycamioneschevrolet.com.co/bus/bus-serie-frr-forward/
PESO TOTAL	6000 - 8000 kg

TABLA No. 3



Imagen No. 6: En esta imagen se aprecia el diagrama del informe de la autoridad, donde hacen referencia a la zona de daños y descripción de estos. (pendiente peritaje), la autoridad tercio anterior derecho.



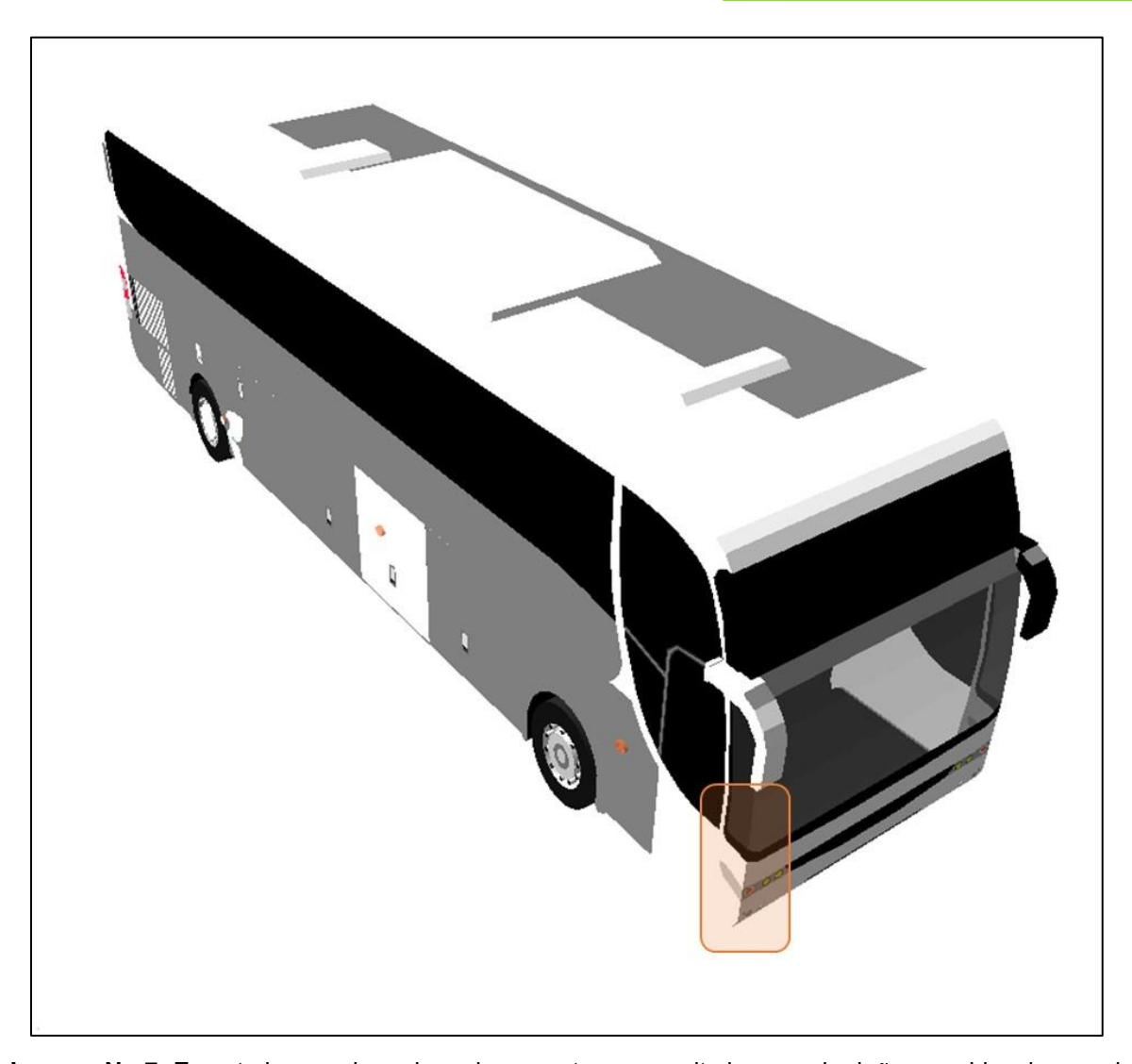


Imagen No.7: En esta imagen basada en los reportes se resalta la zona de daños y evidencias en el vehículo. Software Trimble Forensic Reveal.

Código: PDS-FO-08

VEHÍCULO No. 2: MOTOCICLETA, AKT AK 125, modelo 2019, color negro, placa OOI34E.



Imagen No.8: En esta imagen netamente ilustrativa toda vez que a la fecha se desconoce las características del vehículo involucrado.

https://tecnoautos.com/wp-content/uploads/2011/03/AKT-AK-125-SL.jpg



Código: PDS-FO-08

CONDUCTOR	LUIS MIGUEL DUQUE BUITRAGO
IDENTIFICACIÓN	CC 1053871742
EDAD	20
LICENCIA	A2

TABLA No. 4

A continuación, se describen las características técnico-mecánico del vehículo No.2.

CARACTERÍSTICAS	VEHÍCULO No.2: MOTOCICLETA, AKT AK 125
SERVICIO	Particular
OCUPANTES / CARGA	-
	Largo 1,90m
	Ancho 0,77m
DIMENSIONES	Alto 0,80m
	Distancia Ejes 1,27 m
	https://www.aktmotos.com/sites/default/files/2023-02/NKD%20125.pdf
PESO TOTAL	200- 220 kg

TABLA No. 5



Imagen No. 9: En esta imagen se aprecia el diagrama del informe de la autoridad, donde hacen referencia a la zona de daños y descripción de estos. (pendiente peritaje). La autoridad señala la zona anterior del rodante.





Imagen No.10: En esta imagen basada en los reportes se resalta la zona de daños y evidencias en el vehículo. Software Trimble Forensic Reveal.



Código: PDS-FO-08

2.4 MARCAS Y EVIDENCIAS SOBRE EL TERRENO:

En el Croquis realizado por la autoridad se indica:

- Punto de referencia A poste y B tapa alcantarilla
- Posición final de los involucrados
- Sentidos de circulación.
- Huella de arrastre 30,5m

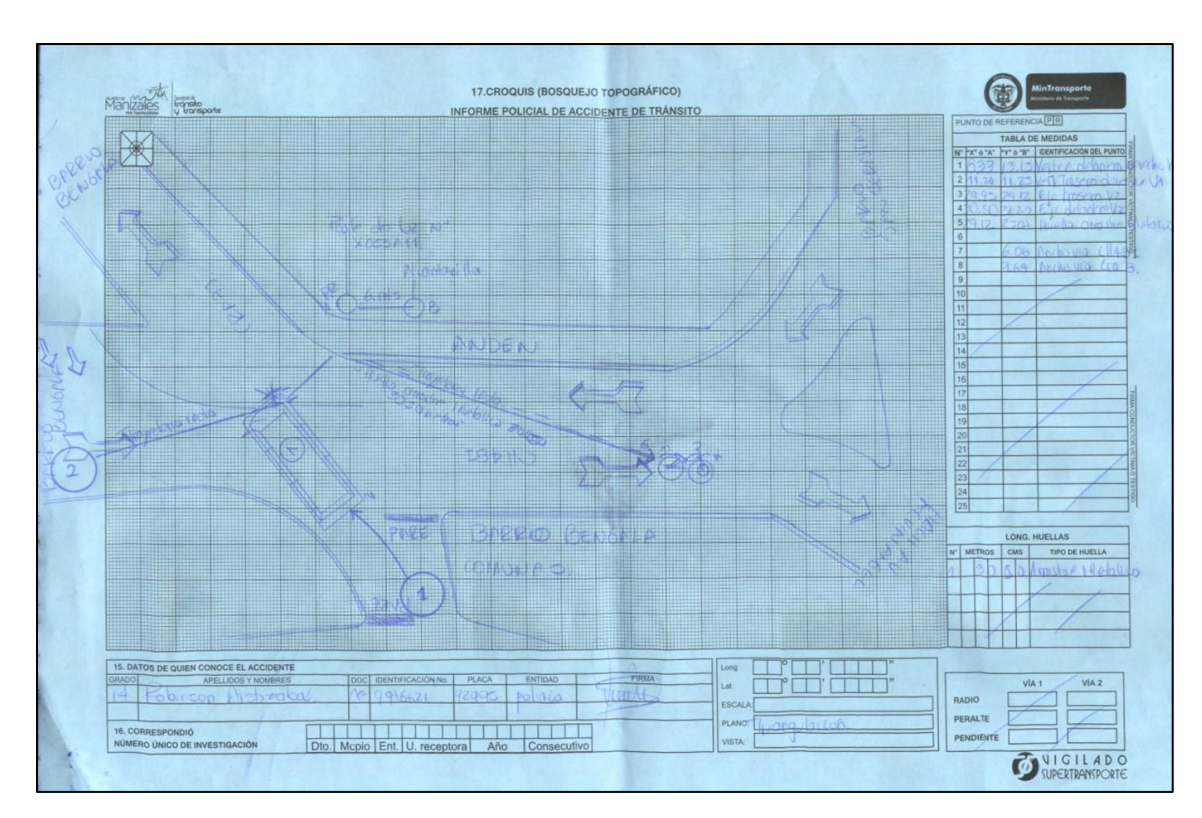


Imagen No. 11: En esta imagen se muestra el bosquejo topográfico.

Cabe resaltar que en la tabla de medidas la número 4 y 5 no guardan relación entre ellas.



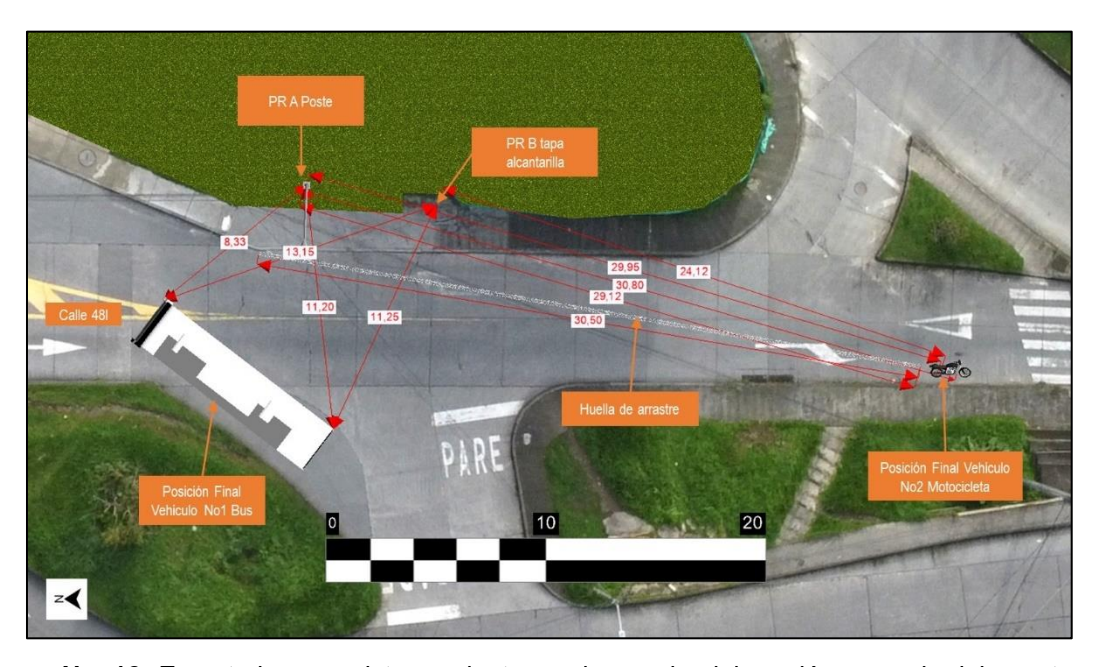


Imagen No. 12: En esta imagen vista en planta se observa la elaboración a escala del evento en el software Trimble Forensic Reveal.

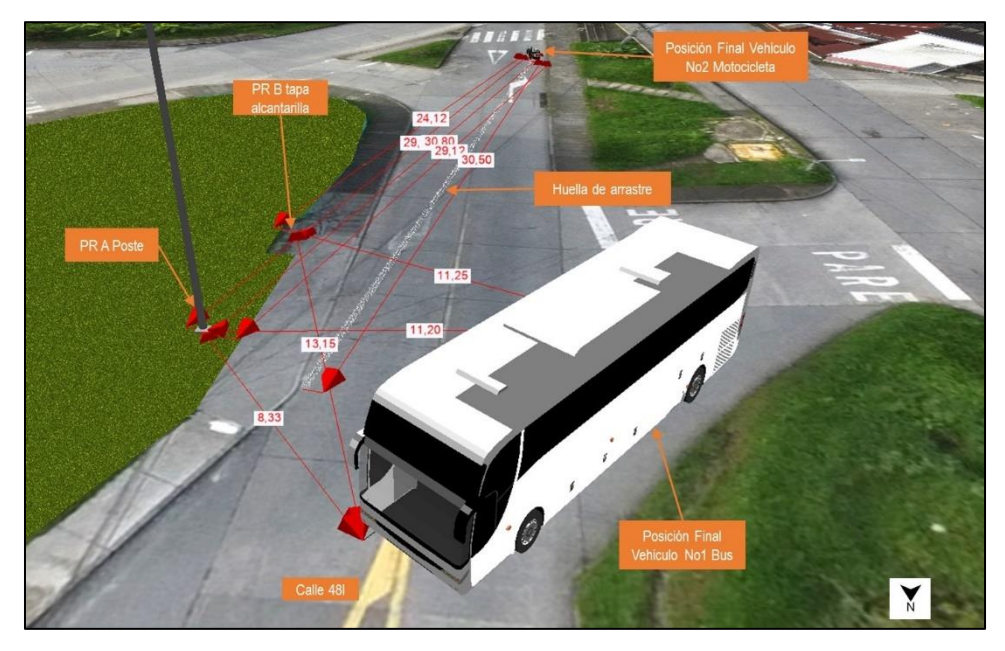


Imagen No. 13: En esta imagen vista en 3D se observa la elaboración a escala del evento en el software Trimble Forensic Reveal.

Código: PDS-FO-08

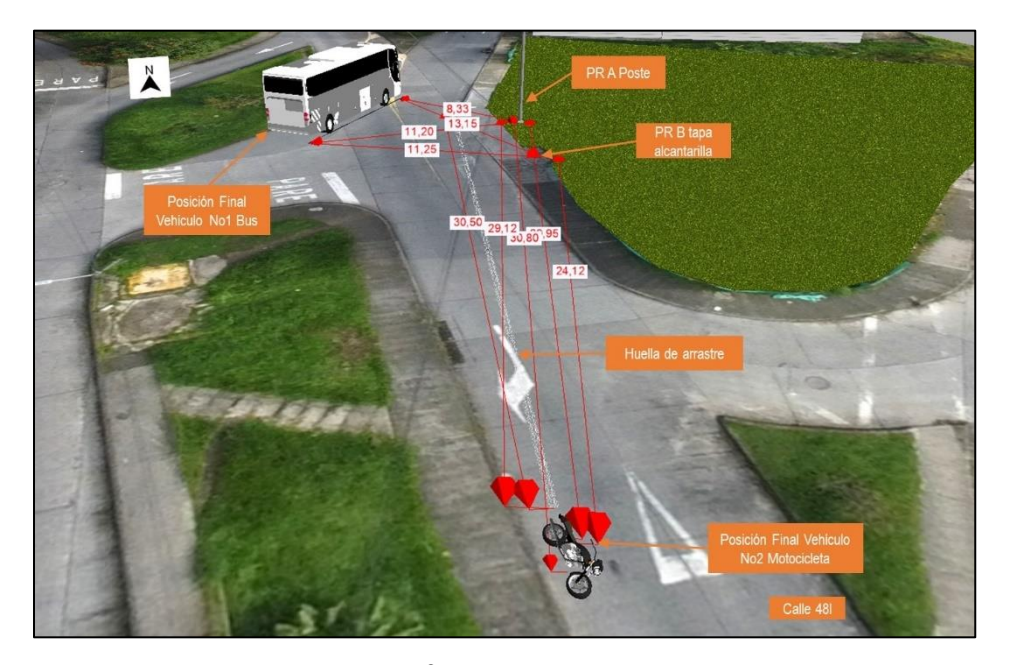


Imagen No. 14: En esta imagen vista en 3D se observa la elaboración a escala del evento en el software Trimble Forensic Reveal.

2.5 VICTIMAS:

Producto del siniestro se reportan dos (02) personas lesionadas:

No.	NOMBRES	DATOS
	LUIS MIGUEL DUQUE	CC 1053871742, 20 años , trauma craneoencefálico
1	BUITRAGO , conductor del	severo, politraumatismos quedando hospitalizado,
	Vehículo No 2 MOTOCICLETA	cuidados intensivos
	FEDERICO PALACIO	
2	GIRALDO, ACOMPAÑANTE	CC 1060656759, 20 años, trauma craneoencefálico
2	del Vehículo No 1	severo, politraumatismos
	MOTOCICLETA	

TABLA No. 6



Código: PDS-FO-08

3 ANÁLISIS FORENSE DEL ACCIDENTE DE TRÁNSITO

El enfoque forense de la reconstrucción de accidentes de tránsito consiste en la utilización de técnicas avanzadas de análisis forense y calculo analítico, partiendo de las evidencias físicas recolectadas del accidente y teniendo en cuenta el vehículo, la vía y el hombre, desde una óptica holística es posible determinar la posición relativa de los involucrados antes, al momento y después del impacto, la secuencia del accidente, las causas que lo generaron y realizar un análisis de evitabilidad.

3.1 POSICIÓN RELATIVA DE LOS VEHÍCULOS AL MOMENTO DEL IMPACTO.

Teniendo en cuenta las evidencias diagramadas en el croquis, la dinámica del accidente, el lugar de impacto en los vehículos, el estado final, daños, evidencias y las posiciones finales, se obtiene que la posición relativa de impacto en cualquier punto del área de 1,0 m x 0,5 m color verde en donde se encontraban ubicados sobre la intersección de la vía.

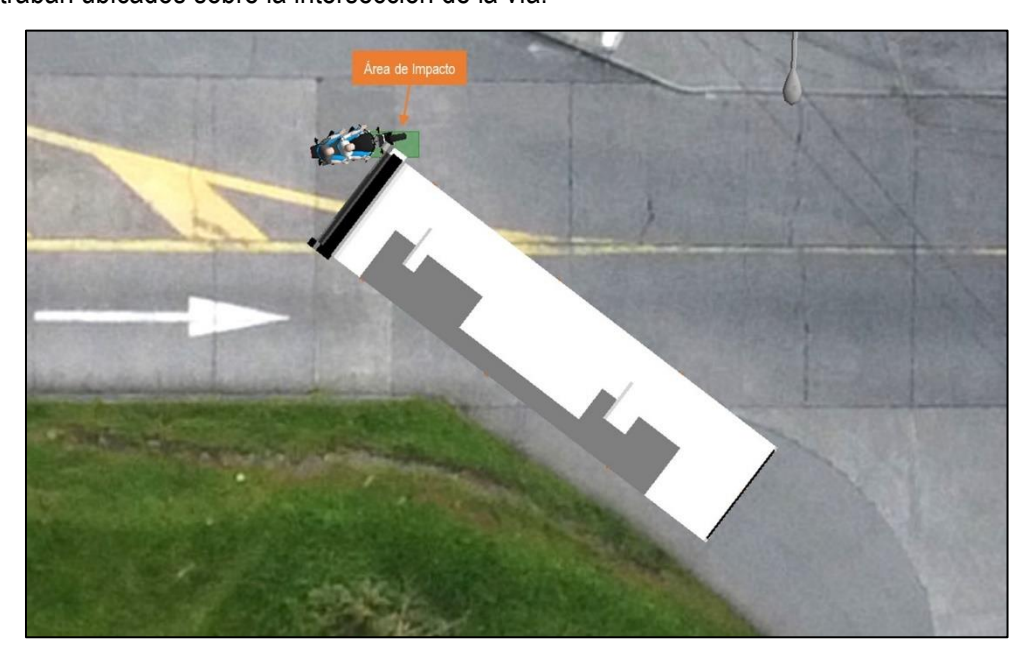


Imagen No. 15: En esta Imagen se muestra la posición relativa de los involucrados al momento del impacto en cualquier punto del área de 1,0 m x 0,5 m color verde en donde se encontraban ubicados sobre la intersección de la vía.



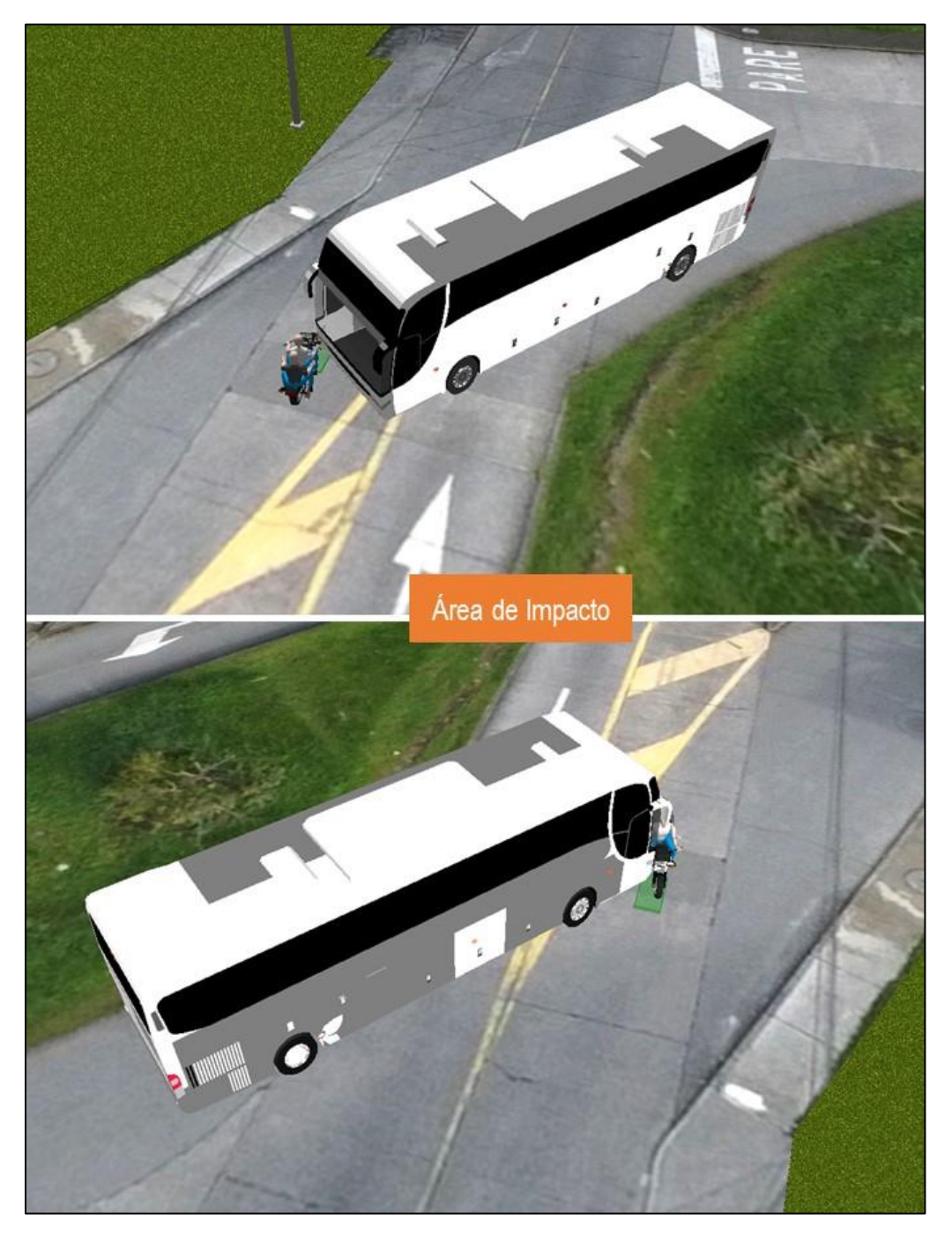


Imagen No. 16 y 17: En esta Imagen se muestra la posición relativa de los involucrados al momento del impacto en cualquier punto del área de 1,0 m x 0,5 m color verde en donde se encontraban ubicados sobre la intersección de la vía.



Código: PDS-FO-08

3.2 DESARROLLO ANALÍTICO DE LA DINÁMICA DE MOVIMIENTO DE LOS VEHÍCULOS.

Uno de los aspectos principales de la investigación y la reconstrucción está vinculado con la determinación objetiva de la velocidad de circulación de los vehículos, momentos previos al accidente, el lugar de la vía donde ocurre el impacto y la posición relativa de los vehículos en ese instante, así como la secuencia de movimiento después del impacto. La valoración de estos interrogantes permitirá conocer la o las causas que desencadenaron el hecho.

Conceptos básicos: teóricos-físicos.

La deducción analítica de la velocidad de circulación de los vehículos y la secuencia del accidente se basa en la utilización de un MODELO FÍSICO basado de las leyes de la física tales como conservación de energía, dinámica, cinemática, que tenga en cuenta las principales variables que intervienen en el siniestro, e involucre los parámetros que determinan la ocurrencia de este, además se tuvo en cuenta las siguientes condiciones:

- El área de contacto se localizó teniendo en cuenta las trayectorias que seguían los vehículos antes del contacto, los daños que estos presentaron, las posiciones finales y las evidencias en la vía, a partir de los resultados de los cálculos realizados utilizando en conjunto las leyes de conservación y de la cinemática, lugares diferentes no dieron resultados físicamente posibles, no son compatibles con la evidencia registrada y por tal motivo se descartan.
- La región donde se produjo la colisión y hasta donde se detuvieron los vehículos es recta, pendiente, se encontraba seca y con iluminación natural.
- La posición relativa de los involucrados al momento del contacto se encuentra a partir del registro de daños, posiciones finales y las evidencias identificadas en el lugar de los hechos y brinda los parámetros de identificación de la forma de aproximación de los involucrados a la zona de impacto.
- Los vehículos después de la colisión se detienen por las fuerzas del impacto y frenada y arrastre de la Motocicleta y sus ocupantes.



Código: PDS-FO-08

- Un proceso de frenada de emergencia se calcula teniendo en cuenta un tiempo de reacción del conductor entre uno coma dos (1,2 s) y uno coma cinco (1,5 s)segundos, la desaceleración del vehículo durante la frenada es uniforme con un *coeficiente de rozamiento* mínimo de μ =0,6 y máximo de μ =0,7 Vehículo No1 Bus y mínimo de μ =0,45 y máximo de μ =0,65 para el vehículo No.2 Motocicleta.
- Los cálculos se realizan con la herramienta *IRS*® *Calculator*, hoja de cálculo en Excel, en la cual se ingresan las fórmulas de los modelos físicos utilizados, herramienta elaborada por la Dirección Forense de IRS VIAL SAS.

Nota 2: Los resultados del análisis y los cálculos aquí hechos dependen en su totalidad de la información recibida; sin embargo, los rangos usados para los diferentes parámetros se han escogido de manera que incluyan lo que en realidad sucedió.

Código: PDS-FO-08

3.2.1 VELOCIDAD DE LOS VEHÍCULOS DE ACUERDO CON LA DISTANCIA Y TIEMPO

$$v = 3,6 \frac{d}{t} (1)$$

- V: Velocidad del Bus: entre 7 y 11 km/h.
- d: Distancia total recorrida por el vehículo, entre 2,0 y 3,0 m.
- t: Tiempo de caída del conductor del vehículo entre 1,0 s

DISTANCIA MINIMA	d min	2,00	1000
DISTANCIA MAXIMA	d max	3,00	IRS® Calculator
TIEMPO MINIMO	t min	1,00	WIDEN IM
TIEMPO MAXIMO	t max	1,00	WESTLAND FROM THE PRODUCTION OF THE PRODUCTION O
	RESU	ILTADOS	
			IRS® Calculator
VELOCIDAD MINIMA		2 7 km/h	
VELOCIDAD MAXIMA	19	3 11 km/h	₩ NRS V//\

Imagen No. 18: En esta imagen se observa el desarrollo de los cálculos realizados con la herramienta *IRS*[®] *Calculator*.

- V: Velocidad de la Motocicleta: entre 67 y 68 km/h.
- d: Distancia total recorrida por el vehículo, entre 37,0 y 38,0 m.
- t: Tiempo de caída del conductor del vehículo entre 2,0s

DISTANCIA MINIMA	d min	37,00	IRS® Calculator
DISTANCIA MAXIMA	d max	38,00	IK3 Calculator
TIEMPO MINIMO	t min	2,00	₩IRSVIN
TIEMPO MAXIMO	t max	2,00	INVESTIGACIÓN FORENSE RECONSTRUCCIÓN SEGURDAO VAL
	RESU	LTADOS	
			IRS® Calculator
		40 07 1 //-	Curculator.
VELOCIDAD MINIMA		19 67 km/h	─ VIRSVI

Imagen No. 19: En esta imagen se observa el desarrollo de los cálculos realizados con la herramienta *IRS*[®] *Calculator*.

Código: PDS-FO-08

3.2.2 DISTANCIA QUE REQUIERE UN VEHÍCULO PARA DETENERSE Y QUE SE DESPLAZA A UNA VELOCIDAD VV.

$$D_T = \frac{V_v^2}{2\mu g} + t_r V_v (2)$$

D_T: Distancia total recorrida.

g: Valor de la aceleración de la gravedad: 9,8 m/s²

V_V: Velocidad del vehículo.

t_{r:} tiempo de reacción

μ: Coeficiente de rozamiento entre las llantas del vehículo y el piso.

IRS® Calculator			IRS®	Calc	ulator	
DISTANCIA TO	TAL DE PARA	DA	BUS			
VELOCIDAD MINIMA INICIAL	Vo min (km/h)	7	1,9	ī		
VELOCIDAD MAXIMA INICIAL	Vo max (km/h)	11	3.1			
COEFICIENTE DE FRICCION MINIMO	u min	0.6	0,1	1		
COEFICIENTE DE FRICCION MAXIMO	µ max	0.7		IRS	5 V//\	
TIEMPO DE REACCION MINIMO	tr min (seg)	1,20	INVESTIGACI	ON FORENCE A	ECONSTRUCCIÓN SEGURDAD VAL	
TIEMPO DE REACION MAXIMO	tr max (seg)	1.50	Radianes	1	Grados	s
PENDIENTE DE LA VIA	%	17,6	0,17	1	10,	0
	RESULTADO	os				
	distancia de reacción		distancia de frenado		Distancia tota	al
SUBIENDO	(A)	1	500000000000000000000000000000000000000	+		- 2
DISTANCIA MINIMA	1,1	m	0,0	m	1,1	m
		111	1,000	100	1,005(0)	1000
\$2.00 (1.00	2,7	m	0,0		2,7	m
IRS® Calculator			IRS® d	Calcul	ator	m
IRS® Calculator DISTANCIA TO			IRS® d	Calcul	ator	m
IRS® Calculator DISTANCIA TO VELOCIDAD MINIMA INICIAL	TAL DE PARA	ADA	IRS® d	Calcul	ator	m
IRS® Calculator DISTANCIA TO VELOCIDAD MINIMA INICIAL VELOCIDAD MAXIMA INICIAL	TAL DE PARA Vo min (km/h) Vo max (km/h)	67 68	IRS® (Calcul	ator	m
IRS® Calculator DISTANCIA TO VELOCIDAD MINIMA INICIAL VELOCIDAD MAXIMA INICIAL COEFICIENTE DE FRICCION MINIMO	TAL DE PARA Vo min (km/h) Vo max (km/h) µ min	67 68 0,45	IRS® (MOTO	Calcul	ator	m
IRS® Calculator DISTANCIA TO VELOCIDAD MINIMA INICIAL VELOCIDAD MAXIMA INICIAL COEFICIENTE DE FRICCION MINIMO COEFICIENTE DE FRICCION MAXIMO	TAL DE PARA Vo min (km/h) Vo max (km/h) µ min µ max	67 68 0,45 0,65	IRS® (MOTO	Calcul	ator	m
IRS® Calculator DISTANCIA TO VELOCIDAD MINIMA INICIAL VELOCIDAD MAXIMA INICIAL COEFICIENTE DE FRICCION MINIMO COEFICIENTE DE FRICCION MAXIMO TIEMPO DE REACCION MINIMO	TAL DE PARA Vo min (km/h) Vo max (km/h) μ min μ max tr min (seg)	67 68 0,45 0,65 1,20	IRS® (18,61 18,89	IRS	CLETA	
IRS® Calculator DISTANCIA TO VELOCIDAD MINIMA INICIAL VELOCIDAD MAXIMA INICIAL COEFICIENTE DE FRICCION MINIMO COEFICIENTE DE FRICCION MAXIMO TIEMPO DE REACCION MINIMO TIEMPO DE REACCION MAXIMO	TAL DE PARA Vo min (km/h) Vo max (km/h) μ min μ max tr min (seg) tr max (seg)	67 68 0,45 0,65 1,20 1,50	IRS® CMOTO	Calcul OCI IRS	CLETA SUM Grado:	s
IRS® Calculator DISTANCIA TO VELOCIDAD MINIMA INICIAL VELOCIDAD MAXIMA INICIAL COEFICIENTE DE FRICCION MINIMO COEFICIENTE DE FRICCION MAXIMO TIEMPO DE REACCION MINIMO	TAL DE PARA Vo min (km/h) Vo max (km/h) μ min μ max tr min (seg)	67 68 0,45 0,65 1,20	IRS® CMOTO	Calcul OCI IRS	CLETA	S
IRS® Calculator DISTANCIA TO VELOCIDAD MINIMA INICIAL VELOCIDAD MAXIMA INICIAL COEFICIENTE DE FRICCION MINIMO COEFICIENTE DE FRICCION MAXIMO TIEMPO DE REACCION MINIMO TIEMPO DE REACCION MINIMO TIEMPO DE REACCION MAXIMO	TAL DE PARA Vo min (km/h) Vo max (km/h) μ min μ max tr min (seg) tr max (seg)	67 68 0,45 0,65 1,20 1,50 17,6	IRS® CMOTO	Calcul OCI IRS	CLETA SUM Grado:	S
IRS® Calculator DISTANCIA TO VELOCIDAD MINIMA INICIAL VELOCIDAD MAXIMA INICIAL COEFICIENTE DE FRICCION MINIMO COEFICIENTE DE FRICCION MAXIMO TIEMPO DE REACCION MINIMO TIEMPO DE REACCION MAXIMO	TAL DE PARA Vo min (km/h) Vo max (km/h) μ min μ max tr min (seg) tr max (seg) %	67 68 0,45 0,65 1,20 1,50 17,6	IRS® CMOTO	DCI	CLETA SUM Grado:	<u>s</u> 0
IRS® Calculator DISTANCIA TO VELOCIDAD MINIMA INICIAL VELOCIDAD MAXIMA INICIAL COEFICIENTE DE FRICCION MINIMO COEFICIENTE DE FRICCION MAXIMO TIEMPO DE REACCION MINIMO TIEMPO DE REACCION MINIMO TIEMPO DE REACCION MINIMO TIEMPO DE REACION MAXIMO PENDIENTE DE LA VIA	TAL DE PARA Vo min (km/h) Vo max (km/h) µ min µ max tr min (seg) tr max (seg) % RESULTADO	67 68 0,45 0,65 1,20 1,50 17,6	IRS® (MOTC) 18,611 18,89 Radianes 0,17	DCI	Grado:	<u>s</u> 0
IRS® Calculator DISTANCIA TO VELOCIDAD MINIMA INICIAL VELOCIDAD MAXIMA INICIAL COEFICIENTE DE FRICCION MAXIMO TIEMPO DE REACCION MINIMO TIEMPO DE REACION MAXIMO PENDIENTE DE LA VIA	TAL DE PARA Vo min (km/h) Vo max (km/h) µ min µ max tr min (seg) tr max (seg) % RESULTADO	67 68 0,45 0,65 1,20 1,50 17,6	IRS® C MOTC 18,61 18,89 Radianes 0,17 distancia de frenado	DCI DCI IRC INCRESE R	Grado: 10,1	s 0
IRS® Calculator DISTANCIA TO VELOCIDAD MINIMA INICIAL VELOCIDAD MAXIMA INICIAL COEFICIENTE DE FRICCION MINIMO COEFICIENTE DE FRICCION MAXIMO TIEMPO DE REACCION MINIMO TIEMPO DE REACCION MAXIMO	TAL DE PARA Vo min (km/h) Vo max (km/h) µ min µ max tr min (seg) tr max (seg) % RESULTADO	67 68 0,45 0,65 1,20 1,50 17,6	IRS® (MOTC) 18,611 18,89 Radianes 0,17	Calcul DCI	Grado:	<u>s</u> 0

Imagen No. 20: En esta imagen se observa el desarrollo de los cálculos realizados con la herramienta *IRS*[®] *Calculator.*



Código: PDS-FO-08

4. SECUENCIA DEL VIDEO

Dentro del material aportado se cuenta con una pista de video en donde se evidencia la secuencia de los hechos.



Imagen No. 21: En esta imagen se observa al Bus antes de iniciar el cruce de la intersección



Imagen No. 22: En esta imagen se observa al Bus y Motocicleta antes de la intersección





Imagen No. 23: En esta imagen se observa al Bus y Motocicleta en sus respectivas trayectorias



Imagen No. 24: En esta imagen se observa al Bus y Motocicleta en sus respectivas trayectorias





Imagen No. 25: En esta imagen se observa al Bus y Motocicleta en sus respectivas trayectorias



Imagen No. 26: En esta imagen se observa al Bus y Motocicleta en el momento de la interacción





Imagen No. 27: En esta imagen se observa al Bus y un ocupante de la Motocicleta posterior a la interacción



Imagen No. 28: En esta imagen se observa al Bus y un ocupante de la Motocicleta posterior a la interacción





Imagen No. 29: En esta imagen se observa al Bus en posición final



Código: PDS-FO-08

5. SECUENCIA DEL ACCIDENTE DE TRÁNSITO

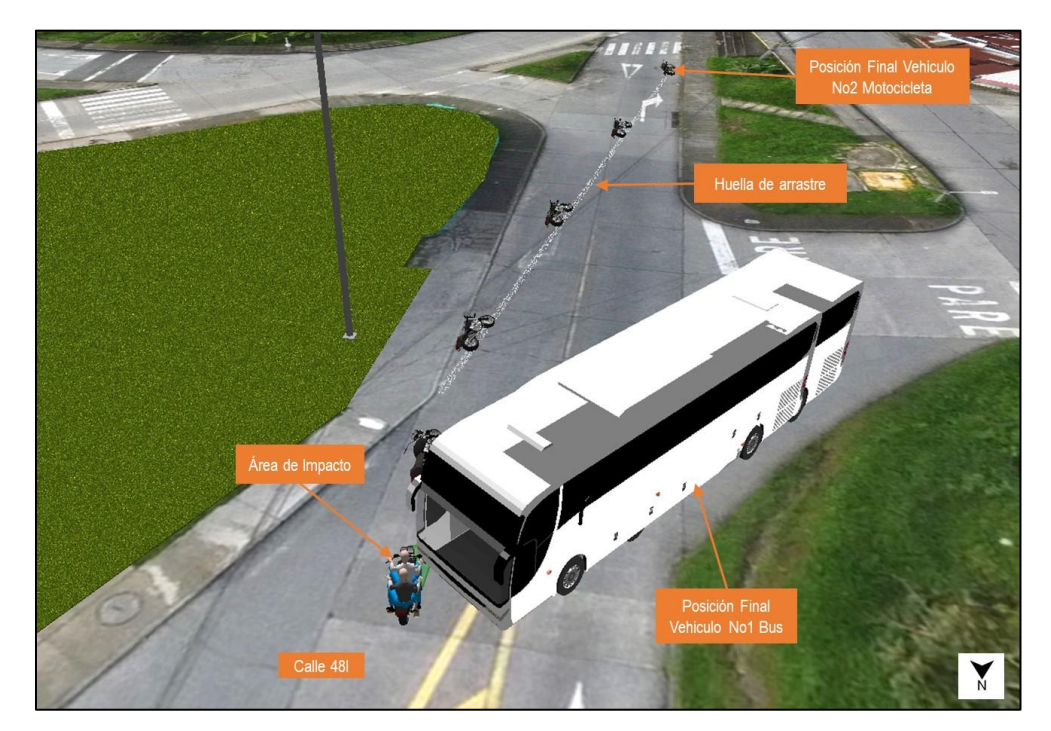
Basados en el registro de evidencias y el análisis realizado para el evento se plantea la secuencia probable, en donde: los involucrados se encontraban transitando en la vía Calle 48 I Carrera 7 J de la ciudad de Manizales (5.0768311,-75.4906911)., el vehículo No.1 BUS se desplazaba a una velocidad al momento del impacto comprendida entre siete (7 km/h) y once (11 km/h) kilómetros por hora, el vehículo No.2 MOTOCICLETA se desplazaba a una velocidad al momento del impacto comprendida entre sesenta y siete (67 km/h) y sesenta y ocho (68 km/h) kilómetros por hora.

El bus se desplazaba en sentido sur norte, mientras la Motocicleta norte sur, cuando en la intersección el Bus se disponía a cruzar la calzada el motociclista intenta realizar una maniobra evasiva sin embargo se genera el impacto, posteriormente el Bus se detiene y retrocede un poco quedando en posición final, mientras tanto la Motocicleta comienza una fase de vuelco y arrastre hasta ubicarse en posición final, los ocupantes de la Motocicleta son proyectados posterior a la interacción sin embargo no se cuenta con información técnica que permita establecer la posición final de estos durante los hechos.



Imagen No. 30: En esta imagen, vista en planta se observa la secuencia del accidente, nótese el sentido de desplazamiento de los vehículos, el área de contacto de color verde.





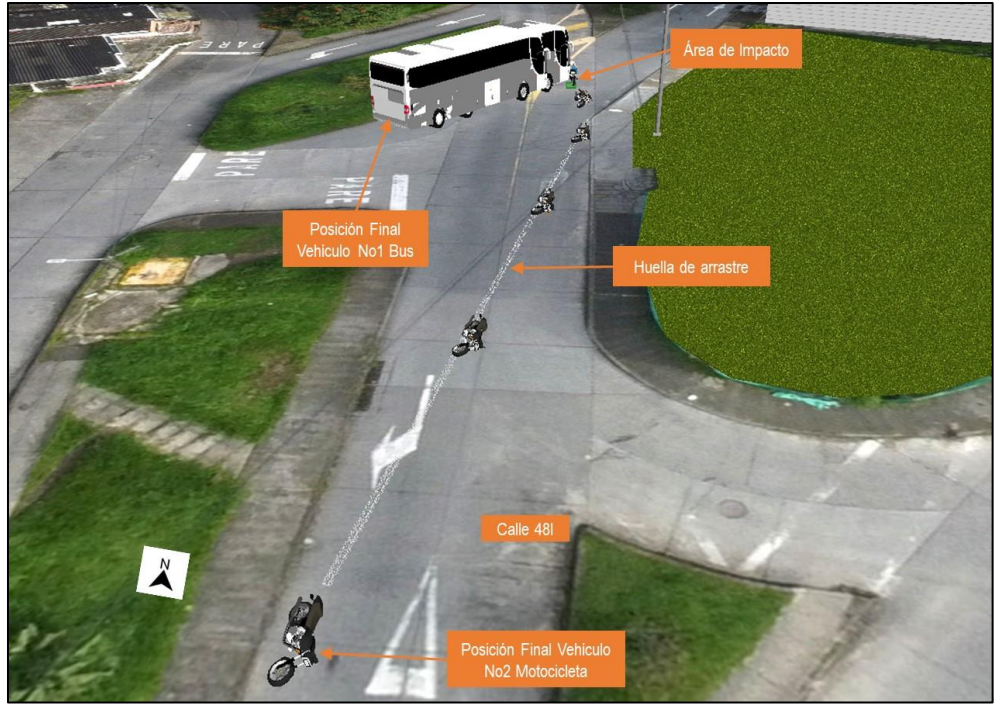


Imagen No. 31 y 32: En esta imagen en 3D, se observa la secuencia del accidente, nótese el sentido de desplazamiento de los vehículos, el área de contacto de color verde.



Código: PDS-FO-08

6. ANÁLISIS DE EVITABILIDAD.

En la generación de todo accidente, se vinculan causas relacionadas con la APTITUD y ACTITUD de los conductores, con el estado de la vía y del vehículo.

Por evitabilidad se entiende el análisis realizado a la secuencia del accidente, en las condiciones específicas del mismo, que permita determinar si los conductores de los vehículos durante su proceso de conducción una vez percibido el riesgo, podían o no realizar maniobras FÍSICAMENTE posibles que le permitieran evitarlo, teniendo en cuenta las normas establecidas, la visibilidad, tiempos de reacción, estado de los vehículos, etc.

Cuando un conductor percibe un riesgo, inician una serie de eventos, procesos, que se desarrollan con el único fin de evitar el peligro o hacerlo menos grave, estos procesos dependen de aspectos dinámicos, anímicos, conductuales, siendo los más usados las maniobras evasivas hacia izquierda o derecha, así como el proceso de frenada de emergencia. Para analizar la EVITABILIDAD del accidente se describe a continuación un proceso normal de maniobra de emergencia, el cual es aproximadamente como sigue: El conductor observa el peligro, a partir de este instante transcurren aproximadamente entre uno coma uno coma dos (1,2 s) y uno coma cinco (1,5 s) segundos ¹, en aplicar los frenos o realizar alguna maniobra, por ejemplo girar; si se elige por la frenada, al actuar los frenos, las llantas disminuyen su velocidad de giro, y si se pisa fuertemente el pedal se pueden bloquear las llantas, por lo que el vehículo finalmente se desplaza un trayecto frenando con llantas a punto de bloquearse o deslizando antes de detenerse totalmente, en este último caso es posible que quede marcada una huella de frenada, si se elige la maniobra de giro el vehículo se desviará en la trayectoria que el conductor le dé a la dirección, y dependiendo del ángulo el vehículo solamente cambiará de dirección sin derrapar lateralmente.

¹ Tiempo de reacción normal para un conductor atento en condiciones ambientales diurnas.



Código: PDS-FO-08

En los anteriores procesos se involucran dos distancias recorridas por el vehículo, primero la distancia que recorre el vehículo durante el tiempo de reacción del conductor, llamada distancia de reacción dR, y segundo la distancia que recorre el vehículo durante la frenada dF, la distancia total de parada dT, es la suma de las dos, es decir, dT = dR + dF; Es importante anotar que cuando se bloquean las llantas se pierde maniobrabilidad en la conducción.

VELOCIDAD	Distancia de Reacción dR	Distancia de Frenado dF	Distancia Total de frenado dT
VEHÍCULO No 1			
BUS	Entre 1,1 y 2,7 m	Entre 0,0 y 0,0 m	Entre 1,1 y 2,7 m
Entre 7 y 11 km/h			
VEHÍCULO No 2			
MOTOCICLETA	Entre 23,6 y 30,2 m	Entre 46,7 y 87,0m	Entre 70,2 y 117,3 m
Entre 67 y 68 km/h			

TABLA No. 7

El hecho que analiza la evitabilidad del accidente radica en determinar en qué lugar se encontraba cada vehículo cuando podía percibir al otro como riesgo, y así realizar las maniobras tendientes a evitar el contacto entre ellos, maniobras como frenar o girar.

Dados los análisis anteriores se tiene que el vehículo No 1 Bus, se encontraría ubicado a una distancia del orden entre los 1,1 y 2,7 m previo al impacto, mientras el vehículo No 2 Motocicleta, se encontraría ubicado a una distancia del orden entre 23,6 y 30,2 m previo al impacto.

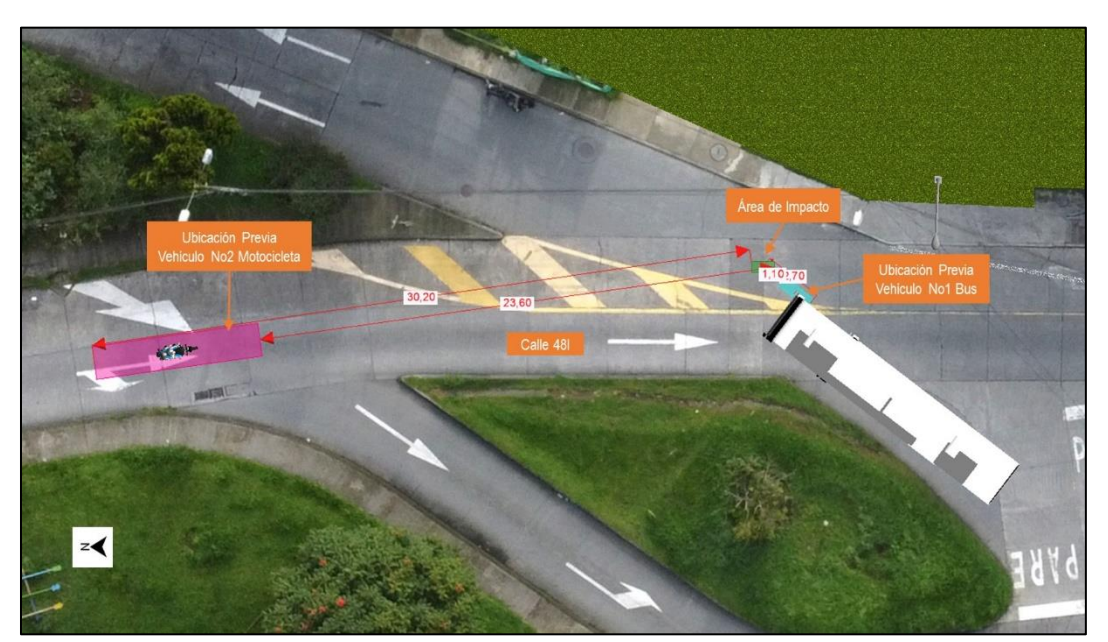


Imagen No.33: En esta imagen, se observa el área de ubicación relativa entre los vehículos involucrados 1,2s y 1,5s antes del área de impacto.

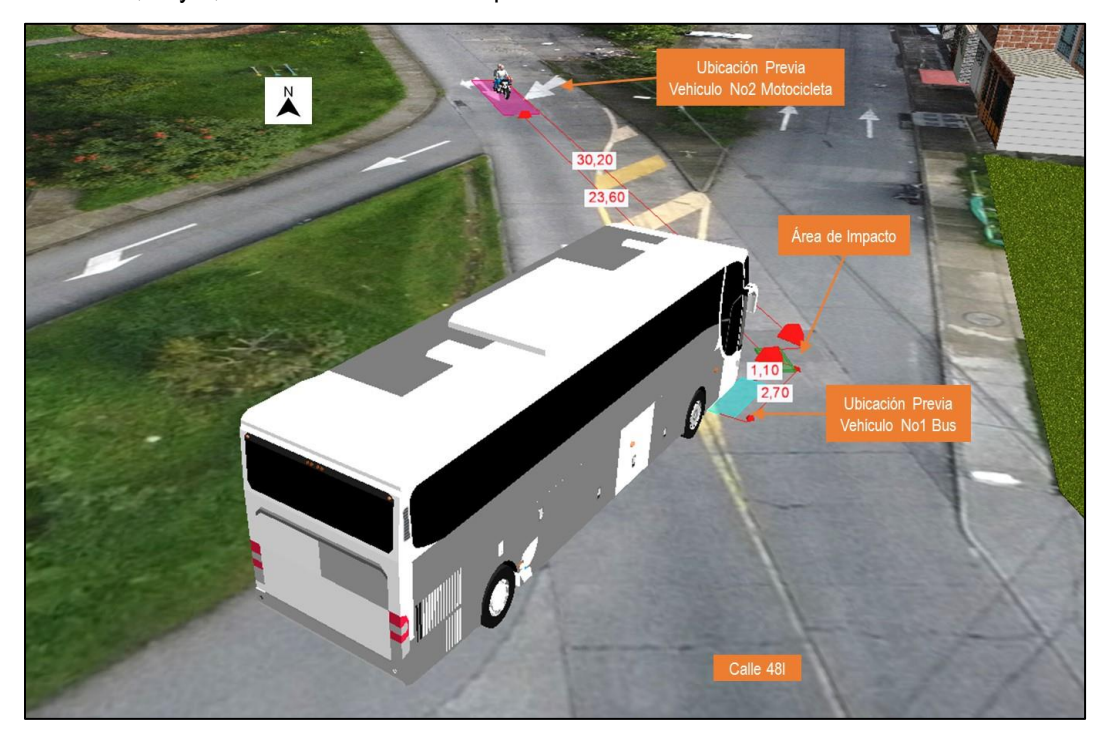


Imagen No.34: En esta imagen, se observa el área de ubicación relativa entre los vehículos involucrados 1,2s y 1,5s antes del área de impacto.





Imagen No.35: En esta imagen, se observa el área de ubicación relativa entre los vehículos involucrados 1,2s y 1,5s antes del área de impacto.

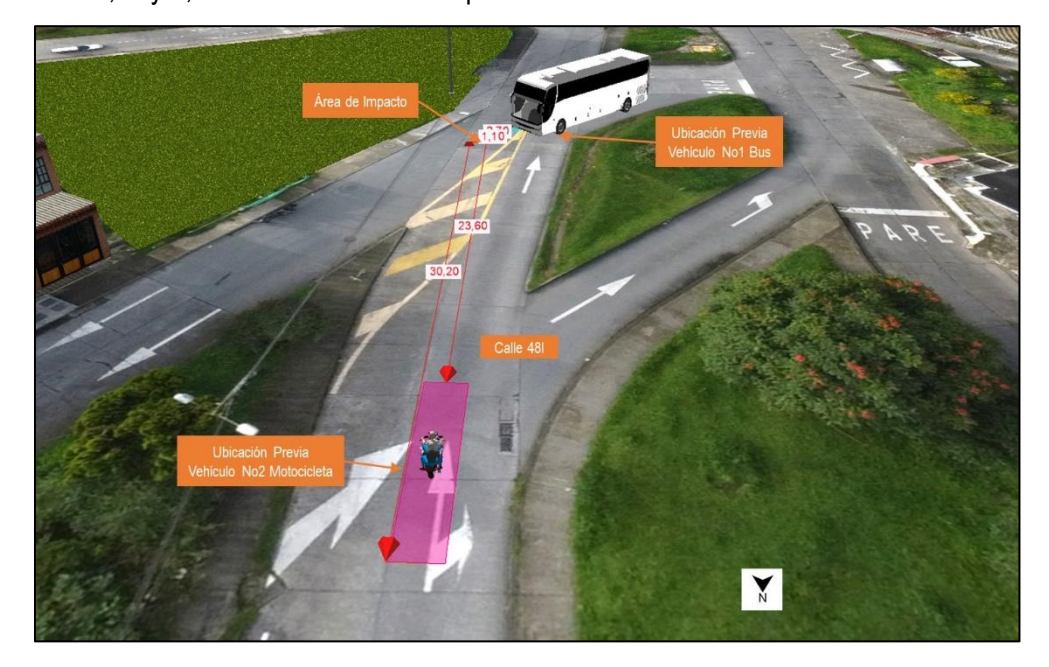


Imagen No.36: En esta imagen, se observa el área de ubicación relativa entre los vehículos involucrados 1,2s y 1,5s antes del área de impacto.



Código: PDS-FO-08

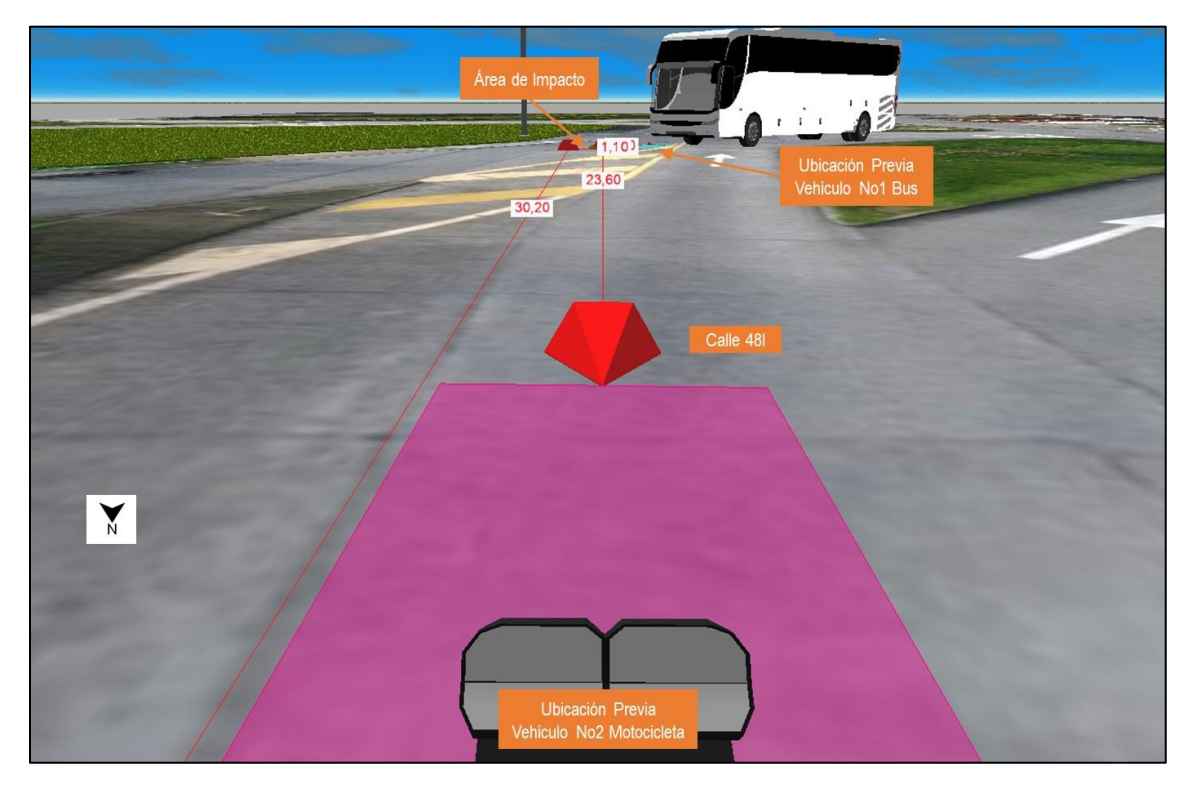


Imagen No.37: En esta imagen, se observa el área de ubicación relativa entre los vehículos involucrados 1,2s y 1,5s antes del área de impacto.

Del anterior análisis se obtiene que instantes previos a los hechos los involucrados encontraban en su campo visual a su contrario.



Código: PDS-FO-08

7. HALLAZGOS

- a) Los resultados del análisis hecho son una primera aproximación compatibles con el modelo físico utilizado, en particular con: las evidencias en la vía, las posiciones finales, los daños que se presentaron y las lesiones de las víctimas.
- **b)** La construcción del bosquejo en 3D se basa en el reporte y evidencias aportados, así como la visita al lugar de los hechos.
- c) En el IPAT se plantea como hipótesis de ocurrencia de los hechos la 132 "No respetar prelación" (No detener el vehículo o ceder el paso, cuando se ingresa a una vía de mayor prelación donde no existe señalización) para el Vehículo No. 1 BUS, y 157 "Otra" (la autoridad no aclara a cual corresponde) para el Vehículo No. 2 MOTOCICLETA.
- d) El área de 1,0 m x 0,5 m color verde, indica que el impacto se presenta en cualquier punto de esta área, en donde se encontraban ubicados en la intersección.
- e) El tramo de la vía Calle 48 I Carrera 7 J de la ciudad de Manizales (5.0768311,-75.4906911), donde se presentaron los hechos es recta, pendiente, estado buena, una calzada donde ocurren los hechos, único sentido, señalización horizontal línea de pare, línea central amarilla.
- f) Del análisis se obtiene que instantes previos a los hechos los involucrados encontraban en su campo visual a su contrario.
- g) No se cuenta con información que permita establecer el estado anímico fisiológico y de embriaguez en el que se encontraban el conductor de la Motocicleta al momento de la ocurrencia del accidente.
- h) De acuerdo con lo acotado por la autoridad el conductor del Bus presento embriaguez negativa.
- i) No es posible establecer si el conductor del Bus acata la señalización de PARE presente en la vía
- j) Es relevante mencionar que en la medida que sea suministrada para análisis información técnica y objetiva sobre el evento es posible ratificar, ampliar los resultados del presente informe y reducir los rangos de variables utilizadas.
- **k)** Los resultados obtenidos poseen un rango o margen de incertidumbre como consecuencia del análisis objetivo de la evidencia recopilada y el error sistemático que se puede llegar a presentar en el proceso investigativo, ante las falencias que se pueden llegar a presentar en cuanto a la fijación de la evidencia en el lugar de los hechos.



Código: PDS-FO-08

8. CONCLUSIONES:

8.1 Secuencia:

- 1. Basados en el registro de evidencias y el análisis realizado para el evento se plantea la secuencia PROBABLE², en donde: los involucrados se encontraban transitando en la vía Calle 48 I Carrera 7 J de la ciudad de Manizales (5.0768311,-75.4906911)., el vehículo No.1 BUS se desplazaba a una velocidad al momento del impacto comprendida entre siete (7 km/h) y once (11 km/h) kilómetros por hora, el vehículo No.2MOTOCICLETA se desplazaba a una velocidad al momento del impacto comprendida entre sesenta y siete (67 km/h) y sesenta y ocho (68 km/h) kilómetros por hora.
- 2. El bus se desplazaba en sentido sur norte, mientras la Motocicleta norte sur, cuando en la intersección el Bus se disponía a cruzar la calzada, el motociclista intenta realizar una maniobra evasiva sin embargo se genera el impacto, posteriormente el Bus se detiene y retrocede un poco quedando en posición final, mientras tanto la Motocicleta comienza una fase de vuelco y arrastre hasta ubicarse en posición final, los ocupantes de la Motocicleta son proyectados posterior a la interacción sin embargo no se cuenta con información técnica que permita establecer la posición final de estos durante los hechos.

8.2 Factor vehículo:

No se cuenta con información que permita determinar que se hayan presentado fallas mecánicas en los vehículos involucrados antes de la ocurrencia del accidente.

² Probable hace alusión a un resultado enmarcado dentro de un margen lógico, basado en un análisis objetivo de evidencias con sustento técnico-científico que soporta el resultado obtenido, es decir, la secuencia y dinámica planteadas es la más probable desde la óptica forense, una diferente no sería consistente con la evidencia y las leyes de la física.



Código: PDS-FO-08

8.3 Factor vía:

Las características de la vía, diseño, estado, señalización y demarcación no fueron factores generadores de la causa del accidente.

8.4 Factor humano:

- 1. La velocidad del vehículo No.1 BUS (7 11 km/h) contiene valores menores a 30 km/h, velocidad máxima permitida en el tramo vía donde se presentó el accidente.
- 2. La velocidad del vehículo No.2 MOTOCICLETA (67 68 km/h) contiene valores mayores a 30 km/h, velocidad máxima permitida en el tramo vía donde se presentó el accidente; si se hubiese desplazado a 30 km/h, el accidente podría haberse evitado.
- 3. Basados en el análisis FORENSE realizado, se establece que la causa³ fundamental del accidente de tránsito obedece a:
- a. Al conductor del Vehículo No. 1 BUS al no encontrarse atento a los elementos presentes en la vía, prelación en la intersección.
- b. Al conductor del Vehículo No. 2 MOTOCICLETA al no encontrarse atento a los elementos presentes en la vía y transitar a una velocidad mayor a la permitida para la zona.
- **Nota 3**: Para la introducción de este informe pericial en un proceso penal y/o civil como elemento material probatorio y su sustentación en audiencia por parte de los peritos firmantes, es necesaria la comunicación a la dirección forense de IRS VIAL S.A.S para su autorización.

³ CAUSA desde la óptica de la SEGURIDAD VIAL, es decir, se determinan los factores que de alguna forma originan riesgos viales, relacionados con el factor humano, la vía y los vehículos, no corresponden a juicios de valor o responsabilidad.



Código: PDS-FO-08

9. REFERENCIAS BIBLIOGRÁFICAS

Investigation Traffic Accident Manual. University Northwestern Institute Traffic. Stannard Baker & lynn Fike.

- **2.** "Vehicular response to emergency braking", Walter S. Reed. University of Texas at Austin. A. Taner Keskin. ALFA Engineering, Inc. (Society of Automotive Engineers document number: SAE 879501.
- **3.** "Motor Vehicle Accident Reconstruction and Cause Analysis, Rudolf Limpert, Fifth Edition, 1999, Lexis Publishing.
- **4.** "Friction Applications in Accident Reconstruction" by Warner et al. (Society of Automotive Engineers document number: SAE 830612).
- **5**. "Vehicular Deceleration and Its Relationship to Friction" Walter S. Reed. University of Texas at Austin. A. Taner Keskin. ALFA Engineering, Inc. (Society of Automotive Engineers document number: SAE 870936).
- **6.** "Perception/reaction time values for accident reconstruction", Michael J., OH Philip H. Cheng, John F. Wiechel, S.E.A., Inc., Columbus, OH Dennis A. Guenther Ohio State Univ., Columbus, OH, SAE 890732.
- **7.** "Motorcycle Slide to Stops Tests" by Christopher J. Medwell, Joseph R. McCarthy, Michael T. Shanahan, SAE document number 970963.42
- **8.** Motorcycle Accident Reconstruction". Nathan Rose, William Neale. SAE International R-483, 2019, P: 38, 47 "Summary of braking decelerations".
- **9.** Stopping characteristics for Motorcycles in Accident Situations Thomas R. Fries, Jay R. Smith, and Keith M. Cronrath". SAE 890734.
- **10.** Seventeen Motorcycle Crash Tests into Vehicles and a Barrier, Kelley S. Adamson Gregory C. Anderson, Peter Alexander Ralph Aronberg, Raymond P, Robinson and Gary M. Johnson J.,Rolly Kinney, Kinney, Claude I. Burkhead, III David W. Sallmann, John McManus, SAE document number 2002-01-0551.



Código: PDS-FO-08

- **11**. Motorcycle Accident Reconstruction". Kenneth S Obenski, Paul F Hill, Eric S Shapiro and Jack C Debes. Lawyers & Judges Publishing Company, Inc, 2007.
- **12.** Estimación de la velocidad de impacto en motocicletas a partir de la deformación permanente Modelo de Wood (1) Ingeniero Daniel François. Año 2009.
- 13. Análisis de la velocidad de impacto de motocicletas. Viangi Cialdai. Año 2013.
- **18** John Searle. The Trajectories of pedestrians, motorcycles, motorcyclists, etc. Following a Road Accident.
- 14. "Drivers response in emergency situations a quick reference". Jeffrey W. M, 2019.CSS Ilc.
- **15.** Accident Investigation Services Pty Ltd. Mark George, Am SAE-A. Director, Sydney, Australia. Raymond M. Brach e R. Matthew Brach no livro "Vehicle Accident Analysis and Reconstructions Methods".

David Jiménez Vidales Ingeniero Mecánico Diego M López Morales Físico Forense – director IRS VIAL SAS

Nota 4: Cada uno de los peritos forenses que firman el presente informe técnico pericial de reconstrucción de accidentes de tránsito, autoriza expresamente al otro individualmente a comparecer ante los estrados judiciales para sustentar en audiencia de juicio oral el contenido de este.

Ing. David Jiménez Vidales:

- Ingeniero Mecánico. Escuela Colombiana de Carreras Industriales 2012
- Especialización en Gerencia de Mantenimiento. Escuela Colombiana de Carreras Industriales 2013
- Capacitación en Homogenización de Peritos 1. CESVI COLOMBIA S.A. 2014.
- Inspección y Valoración de Motos CESVI COLOMBIA S.A. 2015



Código: PDS-FO-08

- Capacitación en Seguridad Vial CESVI COLOMBIA S.A., reconstrucción de accidentes de tránsito, manejo preventivo, prevención vial y relevamiento de datos en accidentes de tránsito. 200 horas. 2016.
- Capacitación en Vista FX, software para la Reconstrucción de Accidentes de Tránsito y fotogrametría. 2016
- Capacitación en estudio de mecánica de colisión como herramienta para el estudio de accidentes de tránsito 20 horas. 2016.
- Peritación de Camiones Nivel 1 y 2 Cesvi Colombia 2020
- Criterios de Inspección de Vehículos Cesvi Colombia 2020
- Experiencia de 6 años en Reconstrucción de Accidentes de Tránsito, donde ha realizado más de 600 casos de Reconstrucción a nivel Nacional. 2016 – a la fecha.

Ms Diego Manuel López Morales:

- Físico y Magíster en ciencias Físico Matemáticas Peoples' Friendship University of Russia, Moscú
 Rusia.
- Físico Forense Investigador y Reconstructor de accidentes de tránsito.
- Físico Forense Instituto de Medicina Legal, 1994 2005.
- Centro Internacional Forense FCI, socio fundador y director Forense FCI. 2005 2007.
- Director Forense IRS VIAL SAS, 2007 2022.
- Reconstructor de más de 3800 accidentes de tránsito.
- Perito experto en las cortes de Colombia.
- Docente Universitario de accidentología y seguridad vial.
- Presentador y asistente en World Reconstruction Exposition 2016 2023.
- Certificado como PERITO FORENSE AVANZADO en hechos de Tránsito, Organización Internacional de Accidentología Vial OIAV, Certificado DEKRA ISO/IEC 17024 -2012. PFT 0010
- Miembro NAPARS (National Association of Professional Accident Reconstruction Specialists) USA.
- Miembro APIAT (Asociación de Peritos en Investigación de Accidentes de Tránsito) perito Nivel 3.
- Experto Asesor Forense en la Certificación en Reconstrucción Analítica de Accidentes de Tránsito (RAAT) por el Instituto Nacional de Medicina Legal y Ciencias Forenses.